

北大工学部 正員 森 明 巨
力

1. 緒言 前回の報告では、河床波のスペクトラムが universal な形で与えられるとしたが、その後新たに資料を加えて検討した結果、水理条件により形状が異なることがわかった。また流速変動のスペクトラムは kh ($k = 1/\text{波長}$, h : 水深) < 0.5 では potential flow で近似できるが $kh > 0.5 \sim 1$ では河床波と流速の関係が異なった Mechanism に支配されるとることがわかった。

2. 河床波のスペクトラム スペクトルの形状の相違を表すパラメータとして L_2/L_1 を導入した。で、 $L_1 = \sqrt{S}/M_1$, $L_2 = \sqrt{S}/M_2$, \sqrt{S} : 河床変動の分散, $M_1 = \int_0^{\infty} S(k) dk$,

$S_3(k)$: 河床波のスペクトラム。河床形状と L_2/L_1 の関係をみるとために、図-1に岸、黒木等のスペクトラムを L_2/L_1 の実測値とともに示した。図によれば、 L_2/L_1 は dune から transition に移行するほどとともに増大する傾向がみられる。transition では漂遊砂量が増大し、漂遊砂量は U_{50}/w_0 (U_{50} : 摩擦速度、 w_0 : 砂粒の沈降速度) と相関があるので両者の関係を調べたのが図-2である。図によると $U_{50}/w_0 < 1$ では $L_2/L_1 \approx 1.4$ であり $U_{50}/w_0 > 1$ では L_2/L_1 は U_{50}/w_0 とともに増加する傾向がみられる。

Author	L_2/L_1	%
O. Annambotla	0.33, 0.36, 0.38, 0.40, 0.42, 0.44, 0.46, 0.48, 0.50, 0.52, 0.54, 0.56, 0.58, 0.60, 0.62, 0.64, 0.66, 0.68, 0.70, 0.72, 0.74, 0.76, 0.78, 0.80, 0.82, 0.84, 0.86, 0.88, 0.90, 0.92, 0.94, 0.96, 0.98, 1.00, 1.02, 1.04, 1.06, 1.08, 1.10, 1.12, 1.14, 1.16, 1.18, 1.20, 1.22, 1.24, 1.26, 1.28, 1.30, 1.32, 1.34, 1.36, 1.38, 1.40, 1.42, 1.44, 1.46, 1.48, 1.50, 1.52, 1.54, 1.56, 1.58, 1.60, 1.62, 1.64, 1.66, 1.68, 1.70, 1.72, 1.74, 1.76, 1.78, 1.80, 1.82, 1.84, 1.86, 1.88, 1.90, 1.92, 1.94, 1.96, 1.98, 2.00	
J. Jain & Kennedy	0.33, 0.36, 0.38, 0.40, 0.42, 0.44, 0.46, 0.48, 0.50, 0.52, 0.54, 0.56, 0.58, 0.60, 0.62, 0.64, 0.66, 0.68, 0.70, 0.72, 0.74, 0.76, 0.78, 0.80, 0.82, 0.84, 0.86, 0.88, 0.90, 0.92, 0.94, 0.96, 0.98, 1.00, 1.02, 1.04, 1.06, 1.08, 1.10, 1.12, 1.14, 1.16, 1.18, 1.20, 1.22, 1.24, 1.26, 1.28, 1.30, 1.32, 1.34, 1.36, 1.38, 1.40, 1.42, 1.44, 1.46, 1.48, 1.50, 1.52, 1.54, 1.56, 1.58, 1.60, 1.62, 1.64, 1.66, 1.68, 1.70, 1.72, 1.74, 1.76, 1.78, 1.80, 1.82, 1.84, 1.86, 1.88, 1.90, 1.92, 1.94, 1.96, 1.98, 2.00	
Authors	0.33, 0.36, 0.38, 0.40, 0.42, 0.44, 0.46, 0.48, 0.50, 0.52, 0.54, 0.56, 0.58, 0.60, 0.62, 0.64, 0.66, 0.68, 0.70, 0.72, 0.74, 0.76, 0.78, 0.80, 0.82, 0.84, 0.86, 0.88, 0.90, 0.92, 0.94, 0.96, 0.98, 1.00, 1.02, 1.04, 1.06, 1.08, 1.10, 1.12, 1.14, 1.16, 1.18, 1.20, 1.22, 1.24, 1.26, 1.28, 1.30, 1.32, 1.34, 1.36, 1.38, 1.40, 1.42, 1.44, 1.46, 1.48, 1.50, 1.52, 1.54, 1.56, 1.58, 1.60, 1.62, 1.64, 1.66, 1.68, 1.70, 1.72, 1.74, 1.76, 1.78, 1.80, 1.82, 1.84, 1.86, 1.88, 1.90, 1.92, 1.94, 1.96, 1.98, 2.00	

河床波のスペクトラムは図-3 カラーカヨ通り (1) 式で近似された。

$$\frac{\gamma_2(k)}{\alpha_{\eta^2}^k L_2} = \frac{4}{\pi} \frac{\cos \theta/2}{1 + 2\cos \theta \cdot (L_2 k)^2 + (L_2 k)^4}, \quad \frac{L_1}{L_2} = \frac{\pi \sin \theta/2}{\theta} \quad (1)$$

3. 流速のスペクトラム 著者らは流速の低波数域におけるスペクトラムが(2)式で近似できることを示した。 λ : 波長, U_m : 平均流速

$$S_{\text{ul}}(k, y) = \left[\frac{2\pi U m h (\cosh 2\pi k y + 2\pi F^3 k h \sinh 2\pi k y)}{\sinh 2\pi k h - 2\pi F^3 \cosh 2\pi k h} \right]^2 S_g(k) \quad (2)$$

F : フルード数。いま、 $\omega(k)$ に(1)式を用い、河床波の移動速度が固波数 ω に依存しないものとした場合の(2)式の計算例が実測値とともに図-4に示されている。図からわかる通り $k_0 < 0.5$ で両者は良く一致する。

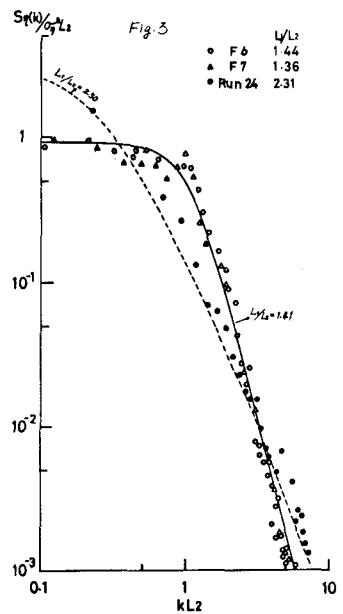
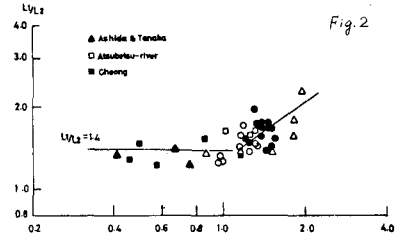
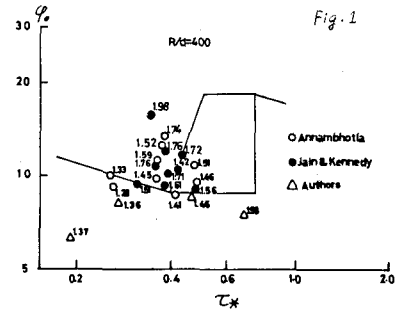
一方、乱流域では、流速記録と河床変動が大きくなれば何程度の時間间隔で区切った場合、各区間ににおけるスペクトラムが(3)式の近似で与えることを示した。 ω : 乱流強度、 T_E : time scale. このことから、全区間

$$S_{ui}(f) = \frac{4\pi^2 T E_i}{1 + (2\pi f T E_i)^2} \quad i: \text{区間の番号} \quad (3)$$

$$S(f) = \frac{1}{N} \sum_{i=1}^N S_i(f) \quad N: 区間数 \quad (4)$$

間で計算されたスペクトラムが(4)式で近似されることが予想される。図中の実線は(4)式の計算値で実測値と良く一致しているのがわかる。

両者の中間領域 $f = 0.002 \sim 0.005$ では、(2), (4) 式や説明であります。河床波と流れの関係がこれらとは異った Mechanism に支配されたりとも考えられる。図-5 は上述の流速記録の各区间における \bar{U} (平均流速), W^2 , S_k (歪度) の変化をみたものであるが、 \bar{U} は W^2 , S_k と逆位相となり傾向があ



る。図-6は波数による \bar{u} と底面の位相差 θ の変化をみたものであるが、波数によらず \bar{u} は θ へとある。図-5, 6は流速の小さな部分では乱流強度が大きく、時おり流速の大きい流体塊が混入し、流速の大きな部分ではこの逆となることと示してある。このことから中間領域では、前者は上昇流により、後者は下降流より形成されるものと推定される。Allen⁽³⁾によれば図-7の様に流れに対して斜めにcrestがある場合、crestより剥離し、reattach後逆流する流体は矢印の様な軌跡によって流下する。従が、2. 図における①の部分では流速の小さな上昇流、②の部分では流速の大きな下降流が発生し、両者の流速差はかなり大きくなるであろう。著者らの実験では波長が水深程度の河床波は、横断方向に不規則に変化しており図の様な流れが発生しているものと予想される。木下⁽⁴⁾は、モルタル河床波上の流れを詳細に測定し、河床形状及び波長-水深比が適当な条件にあれば上述の流れの影響が水面にまで及ぶことを示した。著者らの実験では木下のモルタル河床波の形状がかなり異なるが、水深の相当部分まで影響するものとし、両者の流速差が \bar{u} に、混合の程度が θ に支配されるものとすると中間領域のスペクトラムは(4)式で与えられる。

$$S(k)/S(k_0) = \Psi(k/k_0) \quad (5)$$

図-8はこの関係を調べたものであるが比較的量の散らばりが小さいのがわかる。図のスペクトラムは(4)式から計算される乱流成分を除いてある。

4. おわりに 本研究で用いた資料は砂粒の平均粒径が $0.2\sim0.3\text{ mm}$ のものが主であり、更に大きい粒径の砂粒との検討が必要であるが、以上の結果から次の事が推察される。
 1. 河床波のスペクトラムは dune では \bar{u} と相似な形をしており。
 2. transition のスペクトラムは、低波数域が卓越していくことから、dune 河床は短波長のものから崩壊するようと思われる。
 3. 河床波上の流れの平均流速の振幅は、potential flow によるものと剥離域からの流速の小さな流体の上昇流からなり、 $\Delta u > \bar{u}$ では前者が卓越し、 $\Delta u < \bar{u}$ では、後者と河床波が相互に干渉し potential flow による流速差よりも大きな流速差を生じさせる。

参考文献 1) 林 岸、藤田：土木学会第31回年講工180, 2) 岸、林：土木学会第30回年講 II-154, 3) Allen ; Current Ripple, 4) 木下：昭和51年度北海道開発局委託調査

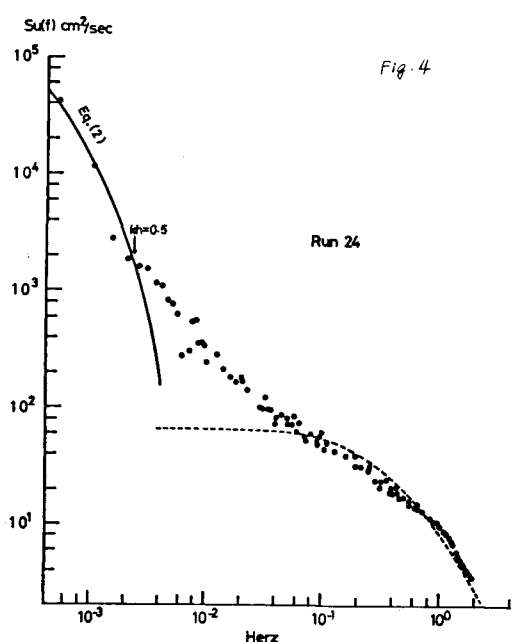


Fig. 4

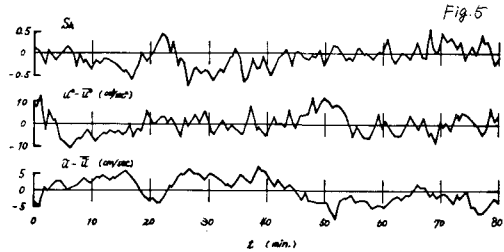


Fig. 5

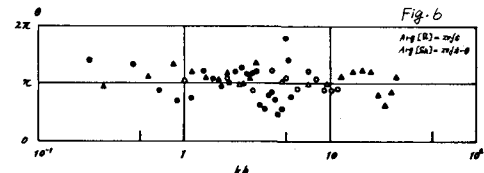


Fig. 6

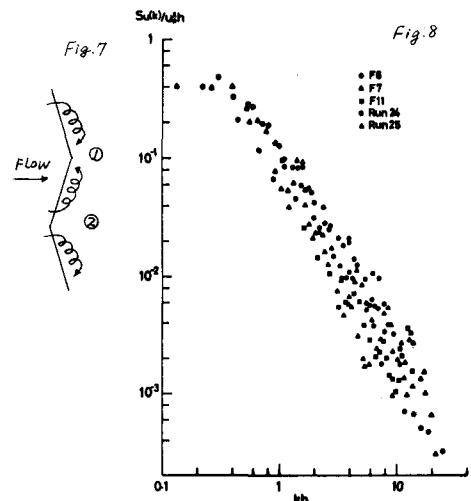


Fig. 7

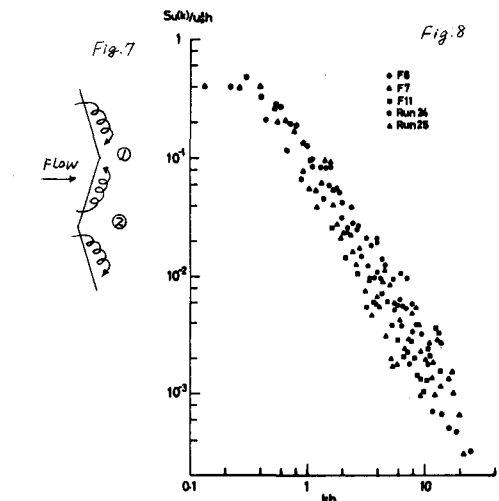


Fig. 8